

Eingabe: Farbmatisches Fernseh-Licht-System TLS18

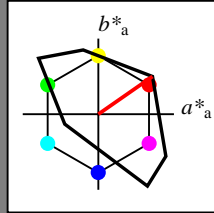
für Buntton  $h^* = lab^*h = 35/360 = 0.097$

$lab^*tch$  und  $lab^*nch$

D65: Buntton O

LCH\*Ma: 53 87 35

olv\*Ma: 1.0 0.0 0.0



TLS18; adaptierte CIELAB-Daten

	$L^*=L^*_a$	$a^*_a$	$b^*_a$	$C^*_{ab,a}$	$h^*_{ab,a}$
$O_m$	52.76	71.63	49.88	87.29	35
$Y_m$	92.74	-20.02	84.97	87.3	103
$L_m$	84.0	-78.98	73.94	108.2	137
$C_m$	87.14	-44.41	-13.11	46.32	196
$V_m$	35.47	64.92	-95.06	115.12	304
$M_m$	59.01	89.33	-55.67	105.26	328
$N_m$	18.01	0.0	0.0	0.0	0
$W_m$	95.41	0.0	0.0	0.0	0
$RCIE$	39.92	58.74	27.99	65.07	25
$J_{CIE}$	81.26	-2.88	71.56	71.62	92
$G_{CIE}$	52.23	-42.41	13.6	44.55	162
$B_{CIE}$	30.57	1.41	-46.46	46.49	272

Dreiecks-Helligkeit  $t^*$

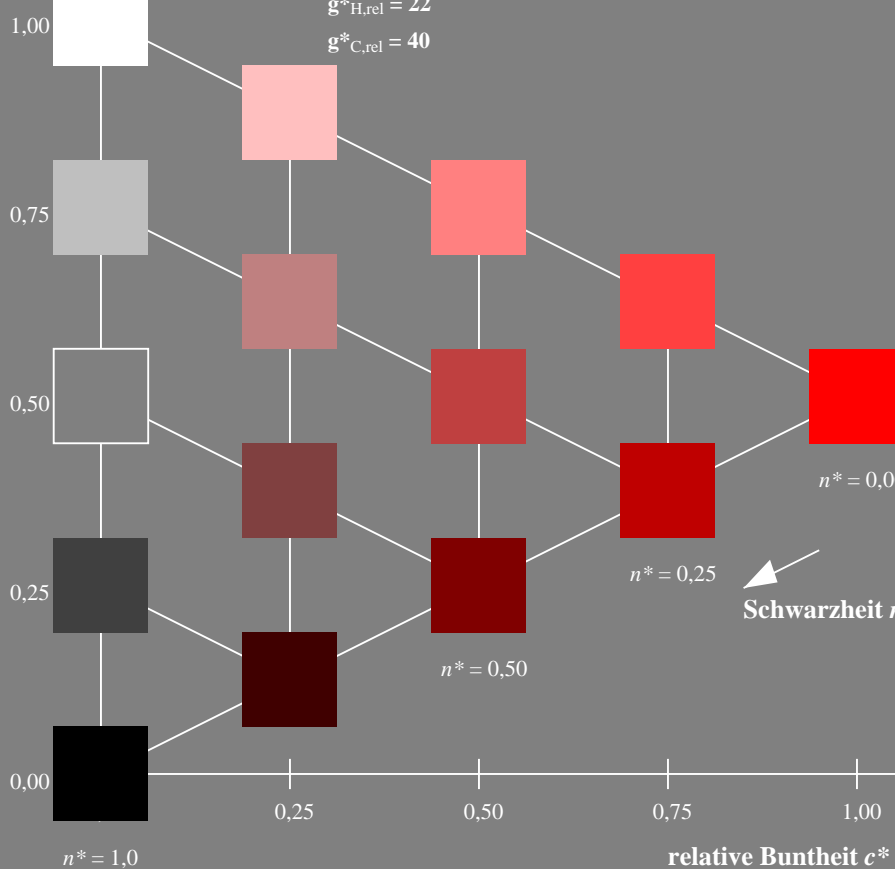
%Umfang

$u^*_{rel} = 118$

%Regularität

$g^*_{H,rel} = 22$

$g^*_{C,rel} = 40$



NG260-7, 5 stufige Reihen für konstanten CIELAB Buntton 35/360 = 0.097 (links)

Ausgabe: Farbmatisches Offset-Reflektiv-System ORS18

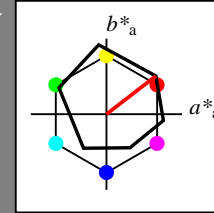
für Buntton  $h^* = lab^*h = 38/360 = 0.105$

$LAB^*LCH, LAB^*NCH$

D65: Buntton O

LCH\*Ma: 48 83 38

olv\*Ma: 1.0 0.0 0.0



ORS18; adaptierte CIELAB-Daten

	$L^*=L^*_a$	$a^*_a$	$b^*_a$	$C^*_{ab,a}$	$h^*_{ab,a}$
$O_m$	47.94	65.39	50.52	82.63	38
$Y_m$	90.37	-10.26	91.75	92.32	96
$L_m$	50.9	-62.83	34.96	71.91	151
$C_m$	58.62	-30.34	-45.01	54.3	236
$V_m$	25.72	31.1	-44.4	54.22	305
$M_m$	48.13	75.28	-8.36	75.74	354
$N_m$	18.01	0.0	0.0	0.0	0
$W_m$	95.41	0.0	0.0	0.0	0
$RCIE$	39.92	58.66	26.98	64.57	25
$J_{CIE}$	81.26	-2.16	67.76	67.79	92
$G_{CIE}$	52.23	-42.25	11.76	43.87	164
$B_{CIE}$	30.57	1.15	-46.84	46.86	271

CIELAB-Helligkeit  $L^*$

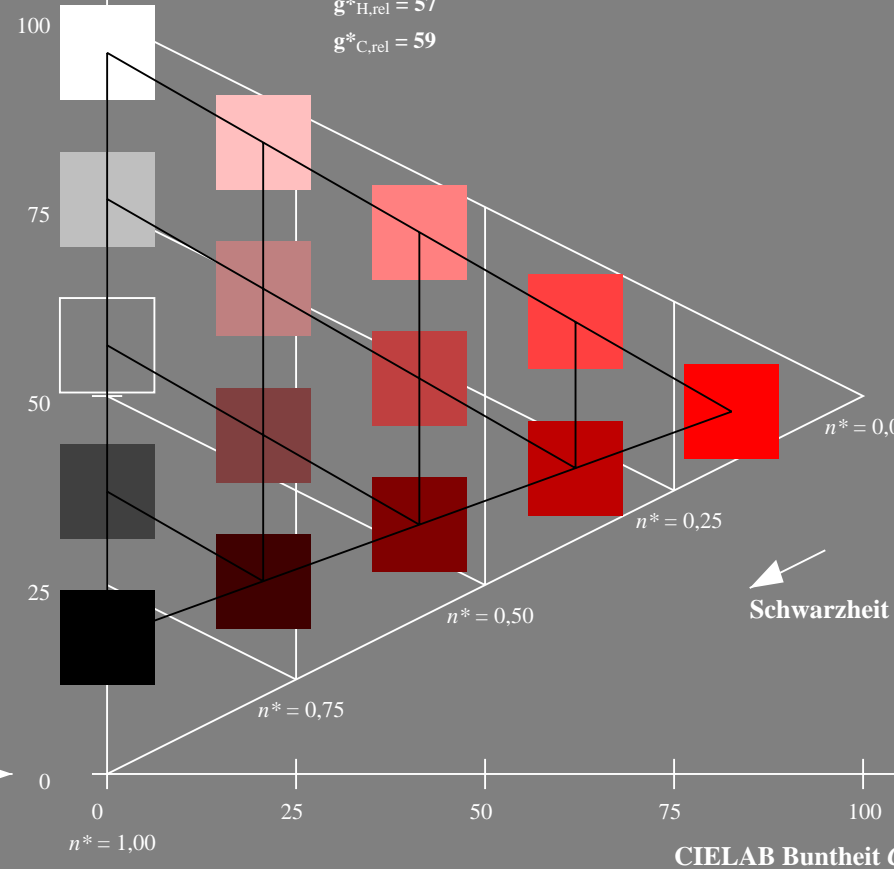
%Umfang

$u^*_{rel} = 93$

%Regularität

$g^*_{H,rel} = 57$

$g^*_{C,rel} = 59$



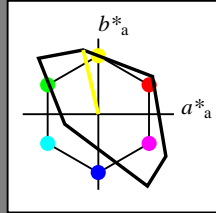
5 stufige Reihen für konstanten CIELAB Buntton 38/360 = 0.105 (rechts)

Eingabe: Farbmétrisches Fernseh-Licht-System TLS18

für Buntton  $h^* = lab^*h = 103/360 = 0.287$

$lab^*tch$  und  $lab^*nch$

D65: Buntton Y  
LCH\*Ma: 93 87 103  
olv\*Ma: 1.0 1.0 0.0

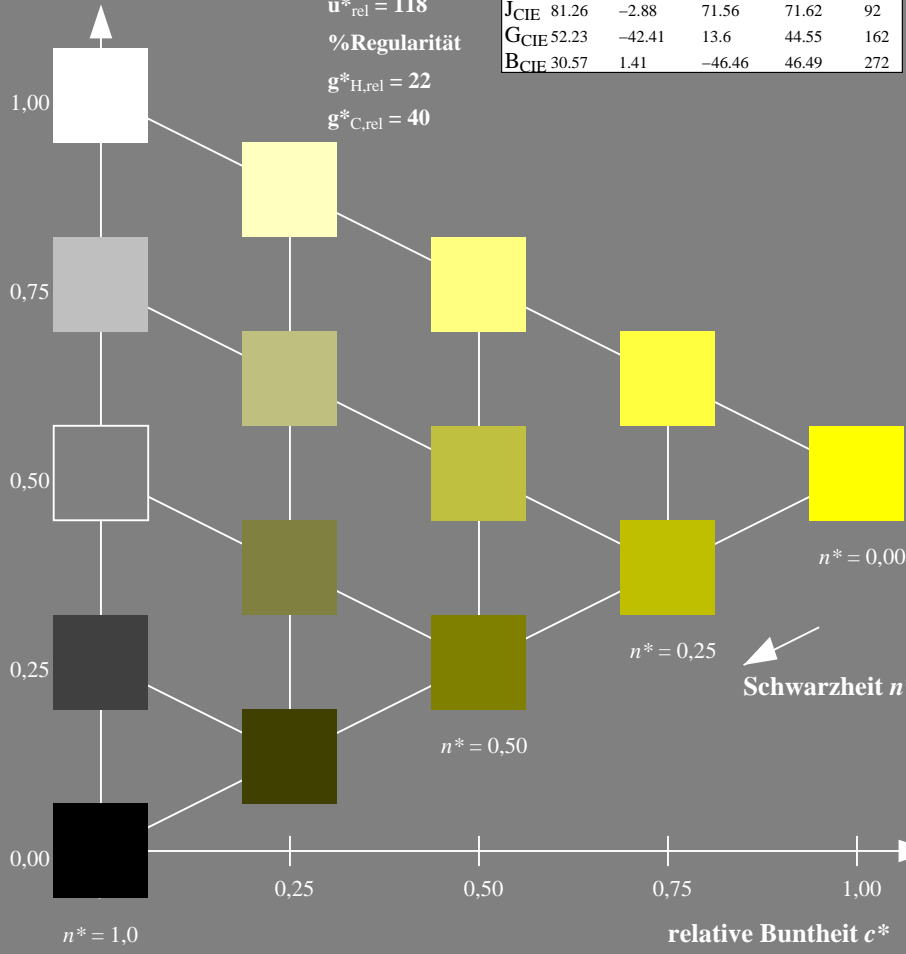


**TLS18; adaptierte CIELAB-Daten**

	$L^*=L^*_a$	$a^*_a$	$b^*_a$	$C^*_{ab,a}$	$h^*_{ab,a}$
$O_m$	52.76	71.63	49.88	87.29	35
$Y_m$	92.74	-20.02	84.97	87.3	103
$L_m$	84.0	-78.98	73.94	108.2	137
$C_m$	87.14	-44.41	-13.11	46.32	196
$V_m$	35.47	64.92	-95.06	115.12	304
$M_m$	59.01	89.33	-55.67	105.26	328
$N_m$	18.01	0.0	0.0	0.0	0
$W_m$	95.41	0.0	0.0	0.0	0
$R_{CIE}$	39.92	58.74	27.99	65.07	25
$J_{CIE}$	81.26	-2.88	71.56	71.62	92
$G_{CIE}$	52.23	-42.41	13.6	44.55	162
$B_{CIE}$	30.57	1.41	-46.46	46.49	272

Dreiecks-Helligkeit  $t^*$

%Umfang  
 $u^*_{rel} = 118$   
%Regularität  
 $g^*_{H,rel} = 22$   
 $g^*_{C,rel} = 40$

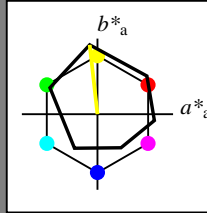


Ausgabe: Farbmétrisches Offset-Reflektiv-System ORS18

für Buntton  $h^* = lab^*h = 96/360 = 0.268$

$LAB^*LCH, LAB^*NCH$

D65: Buntton Y  
LCH\*Ma: 90 92 96  
olv\*Ma: 1.0 1.0 0.0

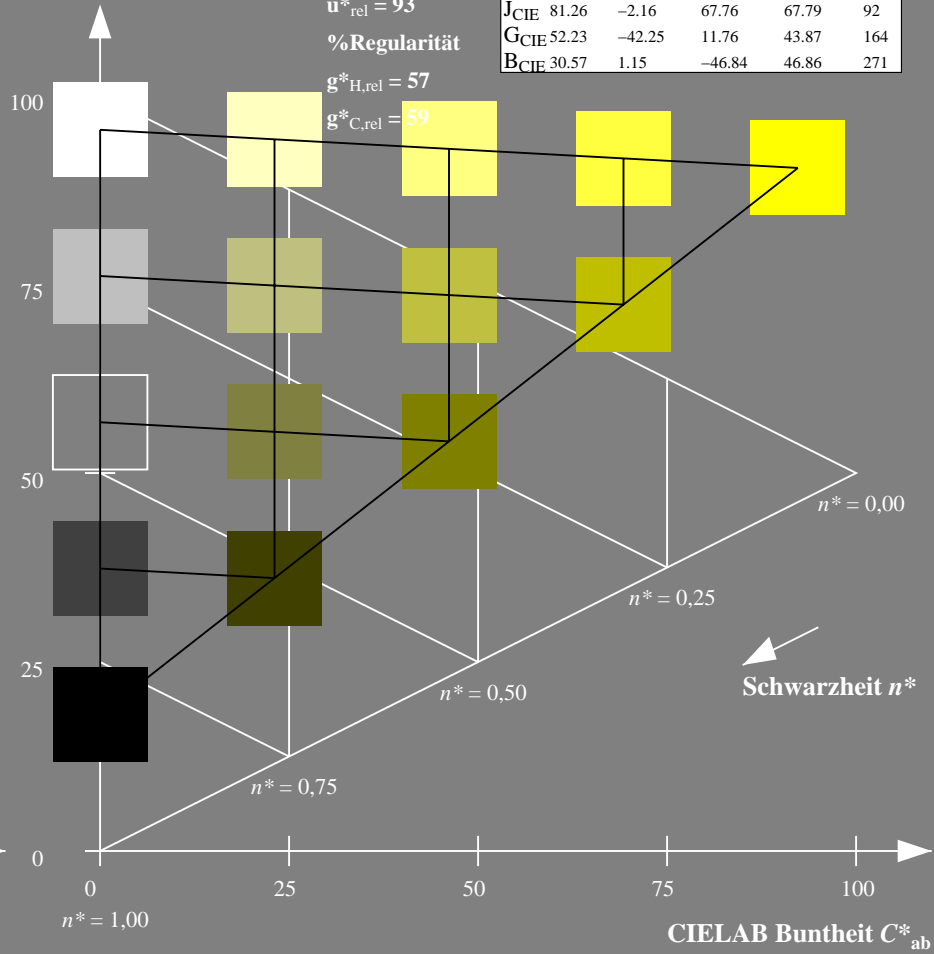


**ORS18; adaptierte CIELAB-Daten**

	$L^*=L^*_a$	$a^*_a$	$b^*_a$	$C^*_{ab,a}$	$h^*_{ab,a}$
$O_m$	47.94	65.39	50.52	82.63	38
$Y_m$	90.37	-10.26	91.75	92.32	96
$L_m$	50.9	-62.83	34.96	71.91	151
$C_m$	58.62	-30.34	-45.01	54.3	236
$V_m$	25.72	31.1	-44.4	54.22	305
$M_m$	48.13	75.28	-8.36	75.74	354
$N_m$	18.01	0.0	0.0	0.0	0
$W_m$	95.41	0.0	0.0	0.0	0
$R_{CIE}$	39.92	58.66	26.98	64.57	25
$J_{CIE}$	81.26	-2.16	67.76	67.79	92
$G_{CIE}$	52.23	-42.25	11.76	43.87	164
$B_{CIE}$	30.57	1.15	-46.84	46.86	271

CIELAB-Helligkeit  $L^*$

%Umfang  
 $u^*_{rel} = 93$   
%Regularität  
 $g^*_{H,rel} = 57$   
 $g^*_{C,rel} = 59$



NG260-7, 5-stufige Reihen für konstanten CIELAB Buntton 103/360 = 0.287 (links)

5-stufige Reihen für konstanten CIELAB Buntton 96/360 = 0.268 (rechts)

BAM-Prüfvorlage NG26; Farbmétrik-Systeme ORS18 & ORS18input:  $olv^* setrgbcolor$

D65: Koordinatensysteme; 5-stufige Farbreihen für 10 Bunttöne output: Startup (S) data dependend

Siehe ähnliche Dateien: <http://www.ps.bam.de/NG26/>  
Technische Information: <http://www.ps.bam.de> Version 2.1, io=1,1?

BAM-Registrierung: 20060101-NG26/10S/S26G01SP.PS/.PDF BAM-Material: Code=rh4ta  
Anwendung für Beurteilung und Messung von Drucker- oder Monitorssystemen  
/NG26/ Form: 2/10, Serie: 1/1, Seite: 2  
Satzzeichnung 2

Eingabe: Farbmatisches Fernseh-Licht-System TLS18

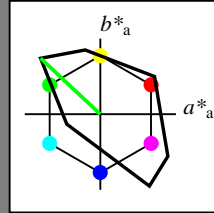
für Buntton  $h^* = lab^*h = 137/360 = 0.38$

$lab^*tch$  und  $lab^*nch$

D65: Buntton L

LCH\*Ma: 84 108 137

olv\*Ma: 0.0 1.0 0.0



TLS18; adaptierte CIELAB-Daten

	$L^*=L^*_a$	$a^*_a$	$b^*_a$	$C^*_{ab,a}$	$h^*_{ab,a}$
O <sub>m</sub>	52.76	71.63	49.88	87.29	35
Y <sub>m</sub>	92.74	-20.02	84.97	87.3	103
L <sub>m</sub>	84.0	-78.98	73.94	108.2	137
C <sub>m</sub>	87.14	-44.41	-13.11	46.32	196
V <sub>m</sub>	35.47	64.92	-95.06	115.12	304
M <sub>m</sub>	59.01	89.33	-55.67	105.26	328
N <sub>m</sub>	18.01	0.0	0.0	0.0	0
W <sub>m</sub>	95.41	0.0	0.0	0.0	0
RCIE	39.92	58.74	27.99	65.07	25
J <sub>CIE</sub>	81.26	-2.88	71.56	71.62	92
G <sub>CIE</sub>	52.23	-42.41	13.6	44.55	162
B <sub>CIE</sub>	30.57	1.41	-46.46	46.49	272

Dreiecks-Helligkeit  $t^*$

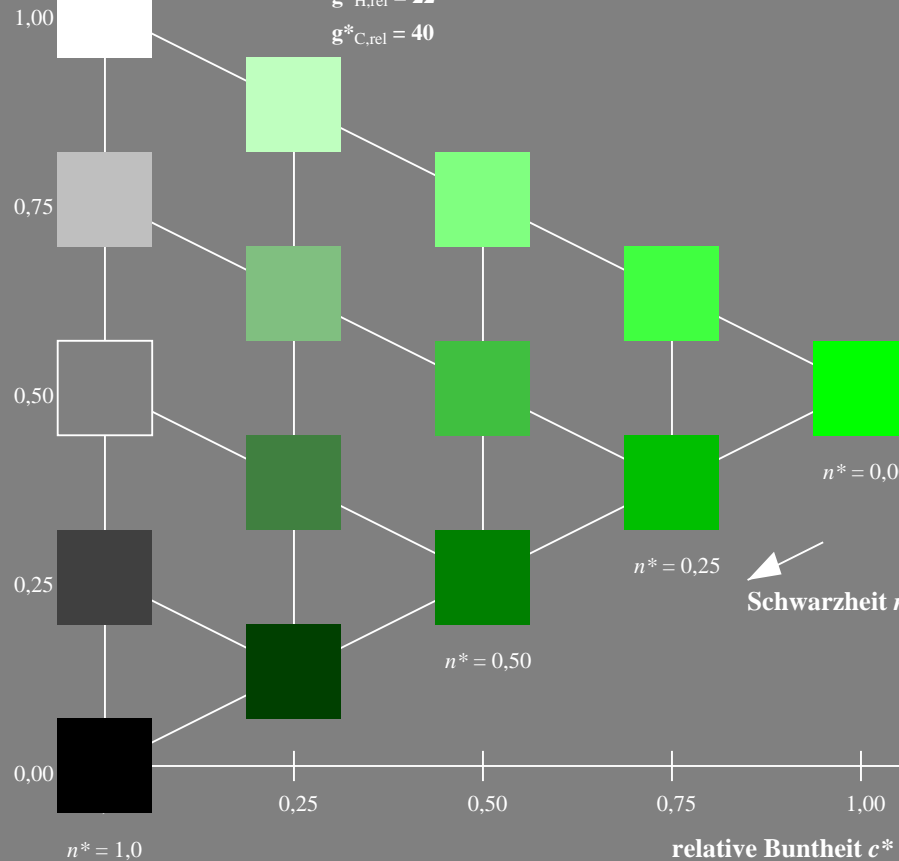
%Umfang

$u^*_{rel} = 118$

%Regularität

$g^*_{H,rel} = 22$

$g^*_{C,rel} = 40$



NG260-7, 5 stufige Reihen für konstanten CIELAB Buntton 137/360 = 0.38 (links)

Ausgabe: Farbmatisches Offset-Reflektiv-System ORS18

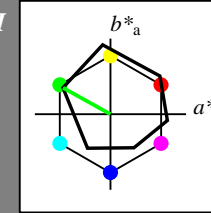
für Buntton  $h^* = lab^*h = 151/360 = 0.419$

$LAB^*LCH, LAB^*NCH$

D65: Buntton L

LCH\*Ma: 51 72 151

olv\*Ma: 0.0 1.0 0.0



ORS18; adaptierte CIELAB-Daten

	$L^*=L^*_a$	$a^*_a$	$b^*_a$	$C^*_{ab,a}$	$h^*_{ab,a}$
O <sub>m</sub>	47.94	65.39	50.52	82.63	38
Y <sub>m</sub>	90.37	-10.26	91.75	92.32	96
L <sub>m</sub>	50.9	-62.83	34.96	71.91	151
C <sub>m</sub>	58.62	-30.34	-45.01	54.3	236
V <sub>m</sub>	25.72	31.1	-44.4	54.22	305
M <sub>m</sub>	48.13	75.28	-8.36	75.74	354
N <sub>m</sub>	18.01	0.0	0.0	0.0	0
W <sub>m</sub>	95.41	0.0	0.0	0.0	0
RCIE	39.92	58.66	26.98	64.57	25
J <sub>CIE</sub>	81.26	-2.16	67.76	67.79	92
G <sub>CIE</sub>	52.23	-42.25	11.76	43.87	164
B <sub>CIE</sub>	30.57	1.15	-46.84	46.86	271

CIELAB-Helligkeit  $L^*$

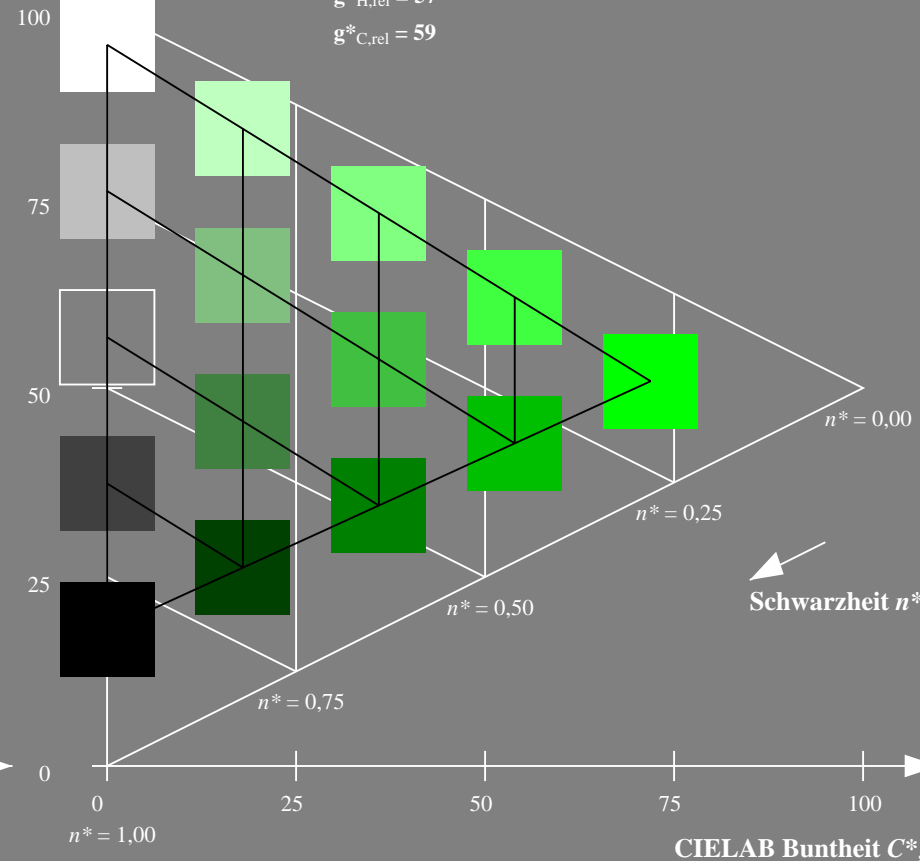
%Umfang

$u^*_{rel} = 93$

%Regularität

$g^*_{H,rel} = 57$

$g^*_{C,rel} = 59$



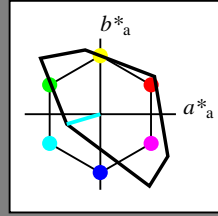
5 stufige Reihen für konstanten CIELAB Buntton 151/360 = 0.419 (rechts)

Eingabe: Farbmatisches Fernseh-Licht-System TLS18

für Buntton  $h^* = lab^*h = 196/360 = 0.546$

$lab^*tch$  und  $lab^*nch$

D65: Buntton C  
LCH\*Ma: 87 46 196  
olv\*Ma: 0.0 1.0 1.0

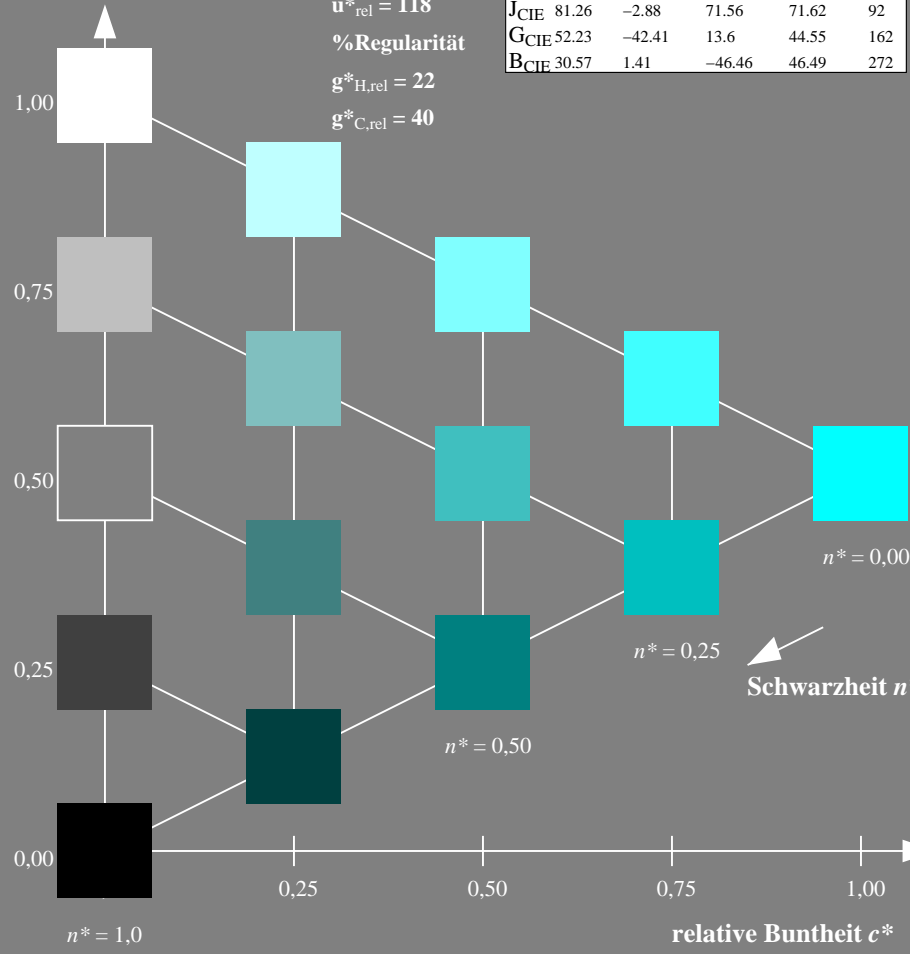


TLS18; adaptierte CIELAB-Daten

	$L^*=L^*_a$	$a^*_a$	$b^*_a$	$C^*_{ab,a}$	$h^*_{ab,a}$
$O_m$	52.76	71.63	49.88	87.29	35
$Y_m$	92.74	-20.02	84.97	87.3	103
$L_m$	84.0	-78.98	73.94	108.2	137
$C_m$	87.14	-44.41	-13.11	46.32	196
$V_m$	35.47	64.92	-95.06	115.12	304
$M_m$	59.01	89.33	-55.67	105.26	328
$N_m$	18.01	0.0	0.0	0.0	0
$W_m$	95.41	0.0	0.0	0.0	0
$R_{CIE}$	39.92	58.74	27.99	65.07	25
$J_{CIE}$	81.26	-2.88	71.56	71.62	92
$G_{CIE}$	52.23	-42.41	13.6	44.55	162
$B_{CIE}$	30.57	1.41	-46.46	46.49	272

Dreiecks-Helligkeit  $t^*$

%Umfang  
 $u^*_{rel} = 118$   
%Regularität  
 $g^*_{H,rel} = 22$   
 $g^*_{C,rel} = 40$

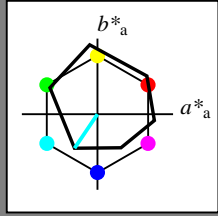


Ausgabe: Farbmatisches Offset-Reflektiv-System ORS18

für Buntton  $h^* = lab^*h = 236/360 = 0.656$

$LAB^*LCH, LAB^*NCH$

D65: Buntton C  
LCH\*Ma: 59 54 236  
olv\*Ma: 0.0 1.0 1.0

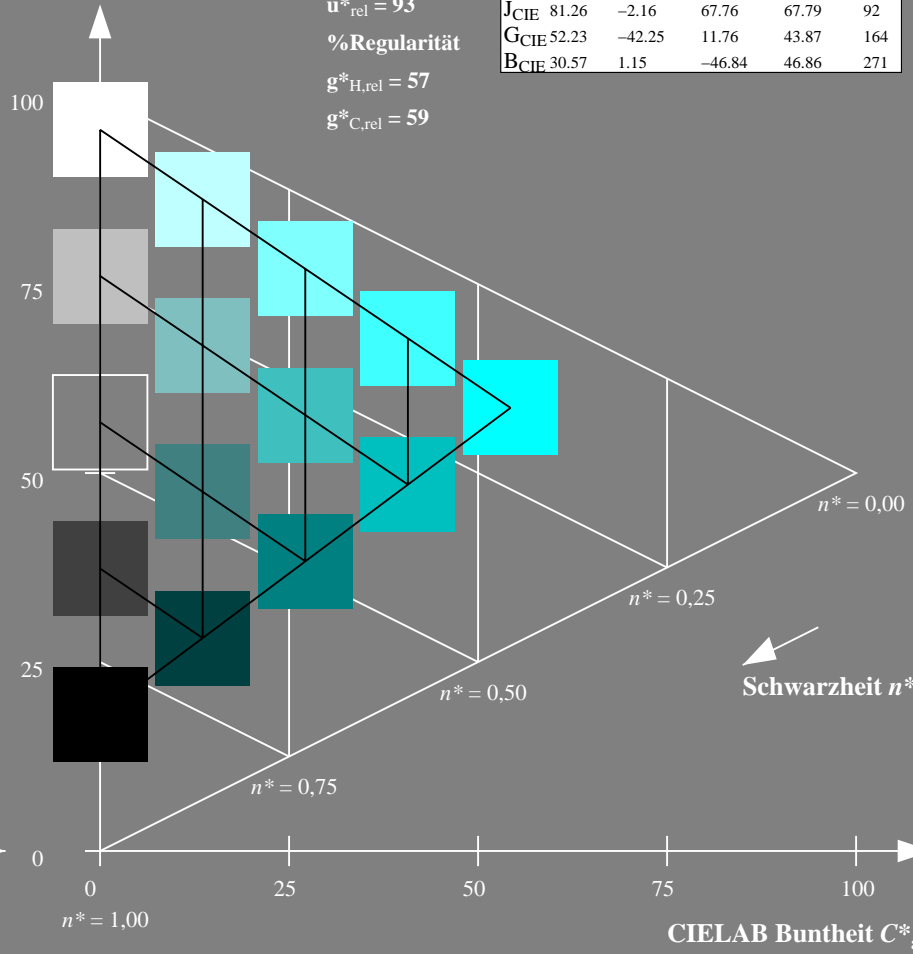


ORS18; adaptierte CIELAB-Daten

	$L^*=L^*_a$	$a^*_a$	$b^*_a$	$C^*_{ab,a}$	$h^*_{ab,a}$
$O_m$	47.94	65.39	50.52	82.63	38
$Y_m$	90.37	-10.26	91.75	92.32	96
$L_m$	50.9	-62.83	34.96	71.91	151
$C_m$	58.62	-30.34	-45.01	54.3	236
$V_m$	25.72	31.1	-44.4	54.22	305
$M_m$	48.13	75.28	-8.36	75.74	354
$N_m$	18.01	0.0	0.0	0.0	0
$W_m$	95.41	0.0	0.0	0.0	0
$R_{CIE}$	39.92	58.66	26.98	64.57	25
$J_{CIE}$	81.26	-2.16	67.76	67.79	92
$G_{CIE}$	52.23	-42.25	11.76	43.87	164
$B_{CIE}$	30.57	1.15	-46.84	46.86	271

CIELAB-Helligkeit  $L^*$

%Umfang  
 $u^*_{rel} = 93$   
%Regularität  
 $g^*_{H,rel} = 57$   
 $g^*_{C,rel} = 59$



NG260-7, 5 stufige Reihen für konstanten CIELAB Buntton 196/360 = 0.546 (links)

5 stufige Reihen für konstanten CIELAB Buntton 236/360 = 0.656 (rechts)

BAM-Prüfvorlage NG26; Farbmatrik-Systeme ORS18 & ORS18input:  $olv^* setrgbcolor$

D65: Koordinatensysteme; 5stufige Farbreihen für 10 Bunttöne output: Startup (S) data dependend

Siehe ähnliche Dateien: <http://www.ps.bam.de/NG26/>  
Technische Information: <http://www.ps.bam.de/Version 2.1, io=1,1?>

BAM-Registrierung: 20060101-NG26/10S/S26G03SP.PS/.PDF BAM-Material: Code=rh4ta  
Anwendung für Beurteilung und Messung von Drucker- oder Monitorssystemen  
/NG26/ Form: 4/10, Serie: 1/1, Seite: 4  
Satzanz hlung 4

Eingabe: Farbmétrisches Fernseh-Licht-System TLS18

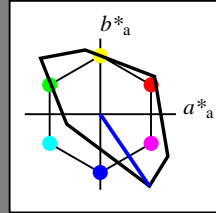
für Buntton  $h^* = lab^*h = 304/360 = 0.845$

$lab^*tch$  und  $lab^*nch$

D65: Buntton V

LCH\*Ma: 35 115 304

olv\*Ma: 0.0 0.0 1.0



TLS18; adaptierte CIELAB-Daten

	$L^*=L^*_a$	$a^*_a$	$b^*_a$	$C^*_{ab,a}$	$h^*_{ab,a}$
$O_m$	52.76	71.63	49.88	87.29	35
$Y_m$	92.74	-20.02	84.97	87.3	103
$L_m$	84.0	-78.98	73.94	108.2	137
$C_m$	87.14	-44.41	-13.11	46.32	196
$V_m$	35.47	64.92	-95.06	115.12	304
$M_m$	59.01	89.33	-55.67	105.26	328
$N_m$	18.01	0.0	0.0	0.0	0
$W_m$	95.41	0.0	0.0	0.0	0
$R_{CIE}$	39.92	58.74	27.99	65.07	25
$J_{CIE}$	81.26	-2.88	71.56	71.62	92
$G_{CIE}$	52.23	-42.41	13.6	44.55	162
$B_{CIE}$	30.57	1.41	-46.46	46.49	272

Dreiecks-Helligkeit  $t^*$

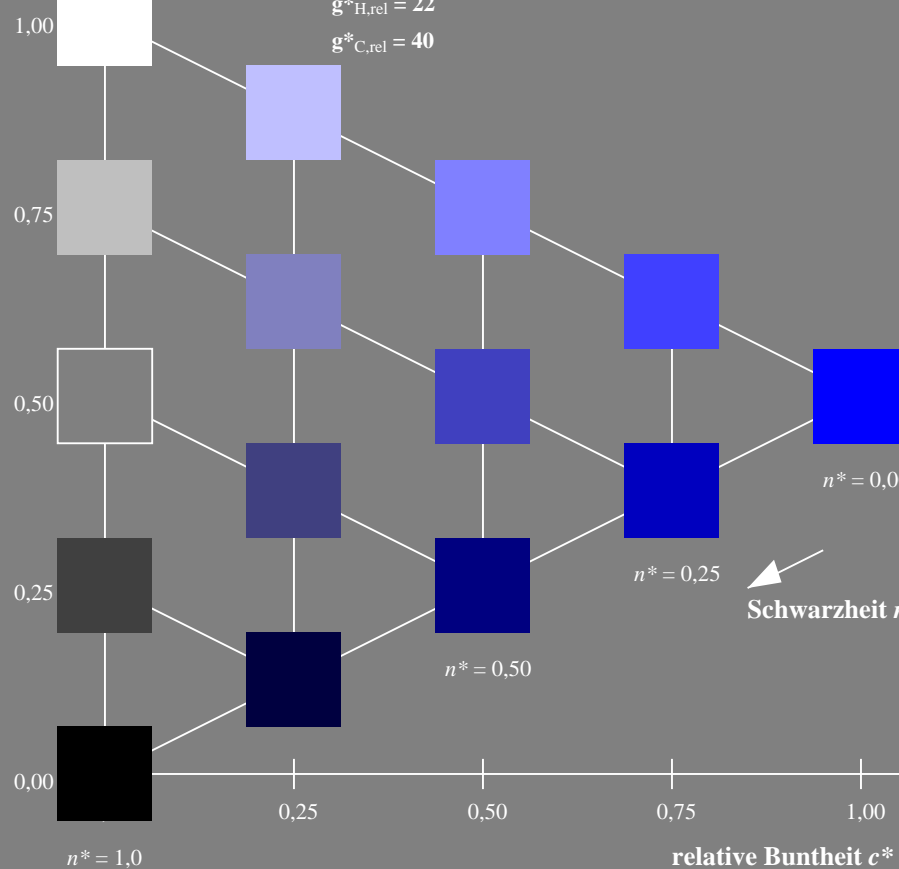
%Umfang

$u^*_{rel} = 118$

%Regularität

$g^*_{H,rel} = 22$

$g^*_{C,rel} = 40$



NG260-7, 5 stufige Reihen für konstanten CIELAB Buntton 304/360 = 0.845 (links)

Ausgabe: Farbmétrisches Offset-Reflektiv-System ORS18

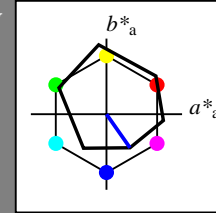
für Buntton  $h^* = lab^*h = 305/360 = 0.847$

$LAB^*LCH, LAB^*NCH$

D65: Buntton V

LCH\*Ma: 26 54 305

olv\*Ma: 0.0 0.0 1.0



ORS18; adaptierte CIELAB-Daten

	$L^*=L^*_a$	$a^*_a$	$b^*_a$	$C^*_{ab,a}$	$h^*_{ab,a}$
$O_m$	47.94	65.39	50.52	82.63	38
$Y_m$	90.37	-10.26	91.75	92.32	96
$L_m$	50.9	-62.83	34.96	71.91	151
$C_m$	58.62	-30.34	-45.01	54.3	236
$V_m$	25.72	31.1	-44.4	54.22	305
$M_m$	48.13	75.28	-8.36	75.74	354
$N_m$	18.01	0.0	0.0	0.0	0
$W_m$	95.41	0.0	0.0	0.0	0
$R_{CIE}$	39.92	58.66	26.98	64.57	25
$J_{CIE}$	81.26	-2.16	67.76	67.79	92
$G_{CIE}$	52.23	-42.25	11.76	43.87	164
$B_{CIE}$	30.57	1.15	-46.84	46.86	271

CIELAB-Helligkeit  $L^*$

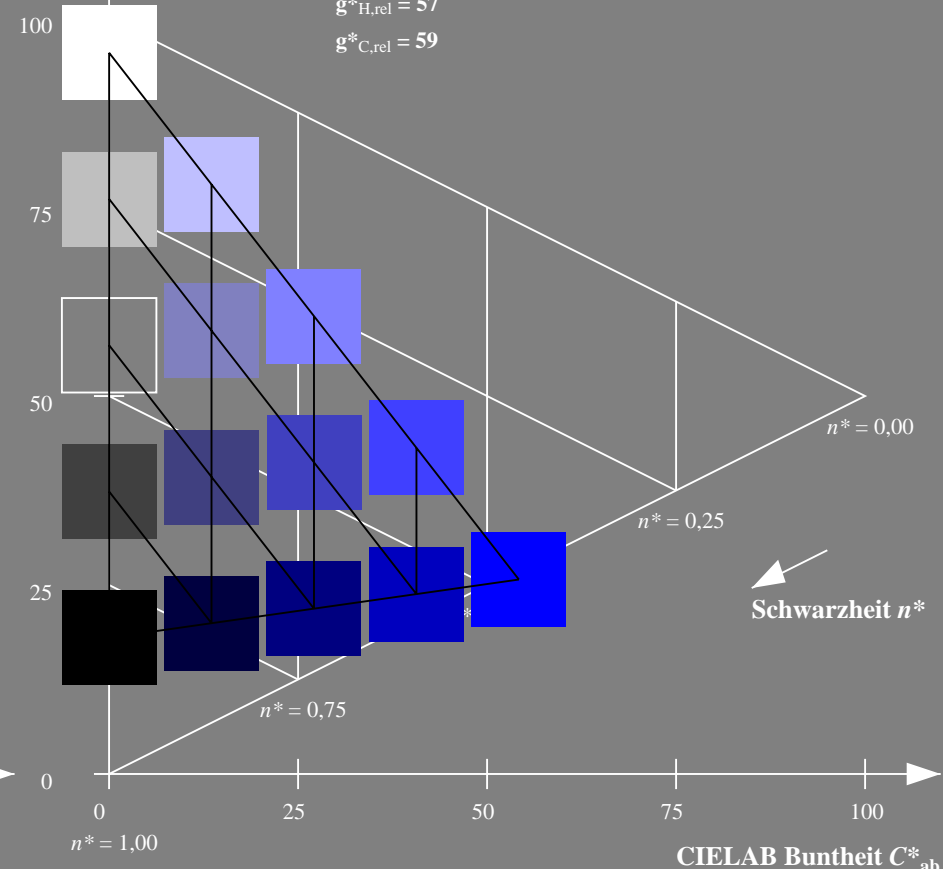
%Umfang

$u^*_{rel} = 93$

%Regularität

$g^*_{H,rel} = 57$

$g^*_{C,rel} = 59$



5 stufige Reihen für konstanten CIELAB Buntton 305/360 = 0.847 (rechts)

Eingabe: Farbmetrisches Fernseh-Licht-System TLS18

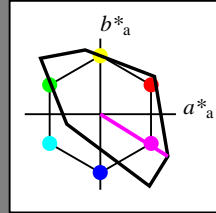
für Buntton  $h^* = lab^*h = 328/360 = 0.911$

$lab^*tch$  und  $lab^*nch$

D65: Buntton M

LCH\*Ma: 59 105 328

olv\*Ma: 1.0 0.0 1.0



TLS18; adaptierte CIELAB-Daten

	$L^*=L^*_a$	$a^*_a$	$b^*_a$	$C^*_{ab,a}$	$h^*_{ab,a}$
$O_m$	52.76	71.63	49.88	87.29	35
$Y_m$	92.74	-20.02	84.97	87.3	103
$L_m$	84.0	-78.98	73.94	108.2	137
$C_m$	87.14	-44.41	-13.11	46.32	196
$V_m$	35.47	64.92	-95.06	115.12	304
$M_m$	59.01	89.33	-55.67	105.26	328
$N_m$	18.01	0.0	0.0	0.0	0
$W_m$	95.41	0.0	0.0	0.0	0
$R_{CIE}$	39.92	58.74	27.99	65.07	25
$J_{CIE}$	81.26	-2.88	71.56	71.62	92
$G_{CIE}$	52.23	-42.41	13.6	44.55	162
$B_{CIE}$	30.57	1.41	-46.46	46.49	272

Dreiecks-Helligkeit  $t^*$

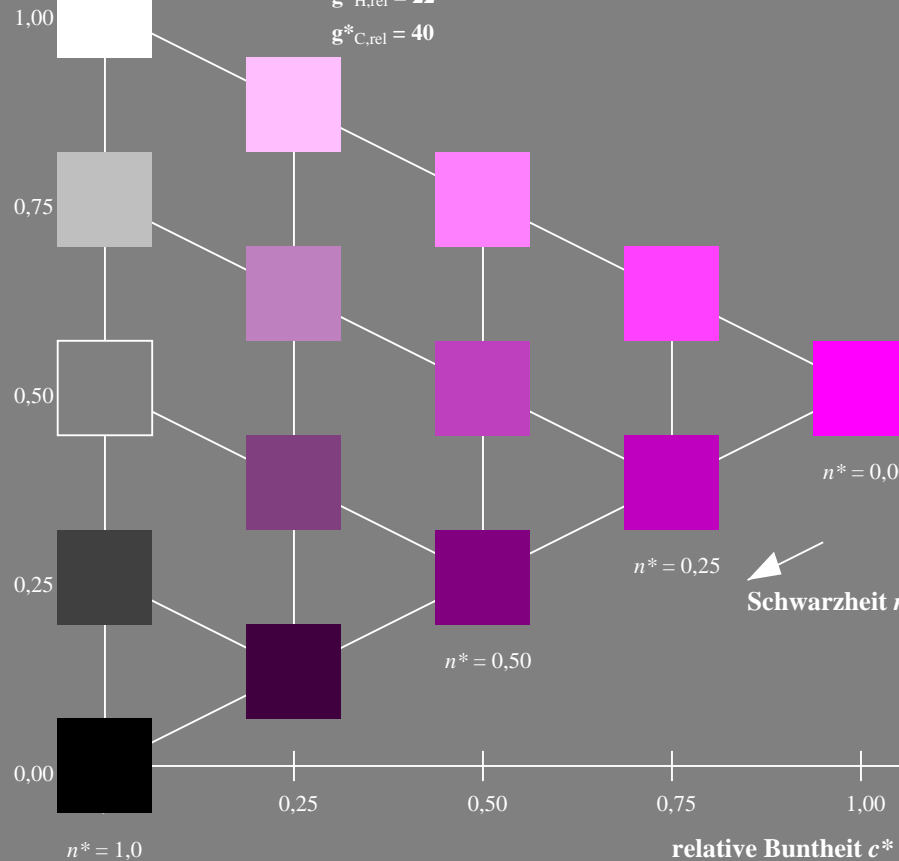
%Umfang

$u^*_{rel} = 118$

%Regularität

$g^*_{H,rel} = 22$

$g^*_{C,rel} = 40$



NG260-7, 5 stufige Reihen für konstanten CIELAB Buntton 328/360 = 0.911 (links)

Ausgabe: Farbmetrisches Offset-Reflektiv-System ORS18

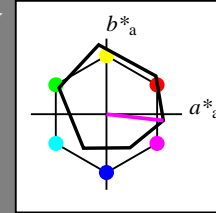
für Buntton  $h^* = lab^*h = 354/360 = 0.982$

$LAB^*LCH, LAB^*NCH$

D65: Buntton M

LCH\*Ma: 48 76 354

olv\*Ma: 1.0 0.0 1.0



ORS18; adaptierte CIELAB-Daten

	$L^*=L^*_a$	$a^*_a$	$b^*_a$	$C^*_{ab,a}$	$h^*_{ab,a}$
$O_m$	47.94	65.39	50.52	82.63	38
$Y_m$	90.37	-10.26	91.75	92.32	96
$L_m$	50.9	-62.83	34.96	71.91	151
$C_m$	58.62	-30.34	-45.01	54.3	236
$V_m$	25.72	31.1	-44.4	54.22	305
$M_m$	48.13	75.28	-8.36	75.74	354
$N_m$	18.01	0.0	0.0	0.0	0
$W_m$	95.41	0.0	0.0	0.0	0
$R_{CIE}$	39.92	58.66	26.98	64.57	25
$J_{CIE}$	81.26	-2.16	67.76	67.79	92
$G_{CIE}$	52.23	-42.25	11.76	43.87	164
$B_{CIE}$	30.57	1.15	-46.84	46.86	271

CIELAB-Helligkeit  $L^*$

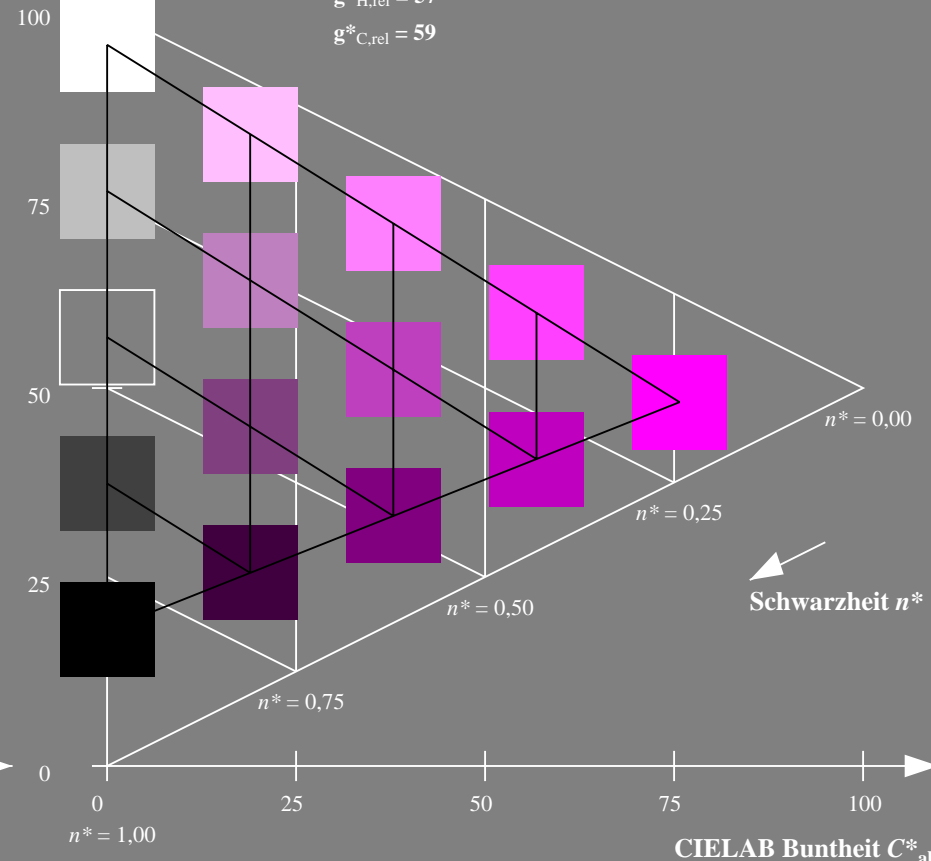
%Umfang

$u^*_{rel} = 93$

%Regularität

$g^*_{H,rel} = 57$

$g^*_{C,rel} = 59$



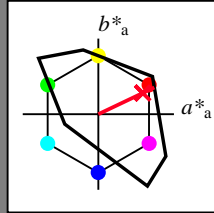
5 stufige Reihen für konstanten CIELAB Buntton 354/360 = 0.982 (rechts)

Eingabe: Farbmetrisches Fernseh-Licht-System TLS18

für Buntton  $h^* = lab^*h = 25/360 = 0.071$

$lab^*tch$  und  $lab^*nch$

D65: Buntton R  
LCH\*Ma: 54 82 25  
olv\*Ma: 1.0 0.0 0.14



TLS18; adaptierte CIELAB-Daten

	$L^*=L^*_a$	$a^*_a$	$b^*_a$	$C^*_{ab,a}$	$h^*_{ab,a}$
$O_m$	52.76	71.63	49.88	87.29	35
$Y_m$	92.74	-20.02	84.97	87.3	103
$L_m$	84.0	-78.98	73.94	108.2	137
$C_m$	87.14	-44.41	-13.11	46.32	196
$V_m$	35.47	64.92	-95.06	115.12	304
$M_m$	59.01	89.33	-55.67	105.26	328
$N_m$	18.01	0.0	0.0	0.0	0
$W_m$	95.41	0.0	0.0	0.0	0
$R_m$	39.92	58.74	27.99	65.07	25
$J_m$	81.26	-2.88	71.56	71.62	92
$G_m$	52.23	-42.41	13.6	44.55	162
$B_m$	30.57	1.41	-46.46	46.49	272

Dreiecks-Helligkeit  $t^*$

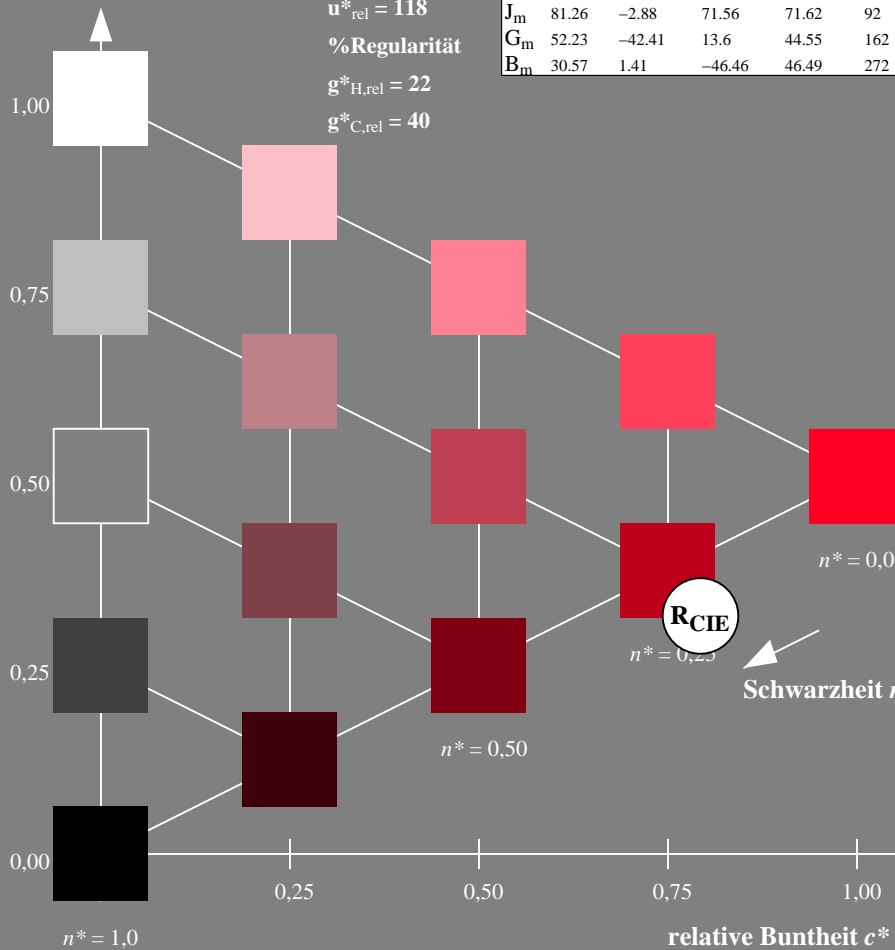
%Umfang

$u^*_{rel} = 118$

%Regularität

$g^*_{H,rel} = 22$

$g^*_{C,rel} = 40$



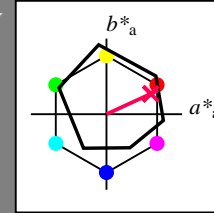
NG260-7, 5 stufige Reihen für konstanten CIELAB Buntton 25/360 = 0.071 (links)

Ausgabe: Farbmetrisches Offset-Reflektiv-System ORS18

für Buntton  $h^* = lab^*h = 25/360 = 0.069$

$LAB^*LCH, LAB^*NCH$

D65: Buntton R  
LCH\*Ma: 48 75 25  
olv\*Ma: 1.0 0.0 0.32



ORS18; adaptierte CIELAB-Daten

	$L^*=L^*_a$	$a^*_a$	$b^*_a$	$C^*_{ab,a}$	$h^*_{ab,a}$
$O_m$	47.94	65.39	50.52	82.63	38
$Y_m$	90.37	-10.26	91.75	92.32	96
$L_m$	50.9	-62.83	34.96	71.91	151
$C_m$	58.62	-30.34	-45.01	54.3	236
$V_m$	25.72	31.1	-44.4	54.22	305
$M_m$	48.13	75.28	-8.36	75.74	354
$N_m$	18.01	0.0	0.0	0.0	0
$W_m$	95.41	0.0	0.0	0.0	0
$R_m$	39.92	58.66	26.98	64.57	25
$J_m$	81.26	-2.16	67.76	67.79	92
$G_m$	52.23	-42.25	11.76	43.87	164
$B_m$	30.57	1.15	-46.84	46.86	271

CIELAB-Helligkeit  $L^*$

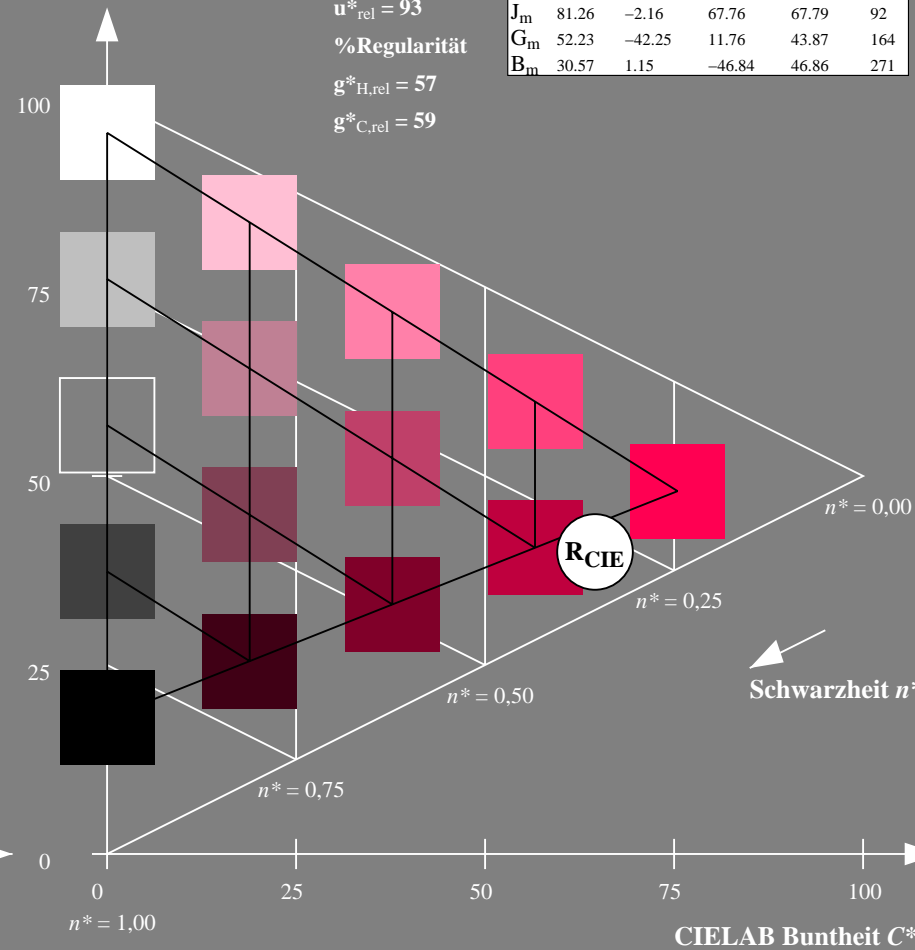
%Umfang

$u^*_{rel} = 93$

%Regularität

$g^*_{H,rel} = 57$

$g^*_{C,rel} = 59$



5 stufige Reihen für konstanten CIELAB Buntton 25/360 = 0.069 (rechts)



Eingabe: Farbmétrisches Fernseh-Licht-System TLS18

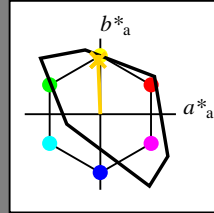
für Buntton  $h^* = lab^*h = 92/360 = 0.256$

$lab^*tch$  und  $lab^*nch$

D65: Buntton J

LCH\*Ma: 85 79 92

olv\*Ma: 1.0 0.82 0.0



TLS18; adaptierte CIELAB-Daten

	$L^*=L^*_a$	$a^*_a$	$b^*_a$	$C^*_{ab,a}$	$h^*_{ab,a}$
O <sub>m</sub>	52.76	71.63	49.88	87.29	35
Y <sub>m</sub>	92.74	-20.02	84.97	87.3	103
L <sub>m</sub>	84.0	-78.98	73.94	108.2	137
C <sub>m</sub>	87.14	-44.41	-13.11	46.32	196
V <sub>m</sub>	35.47	64.92	-95.06	115.12	304
M <sub>m</sub>	59.01	89.33	-55.67	105.26	328
N <sub>m</sub>	18.01	0.0	0.0	0.0	0
W <sub>m</sub>	95.41	0.0	0.0	0.0	0
R <sub>m</sub>	39.92	58.74	27.99	65.07	25
J <sub>m</sub>	81.26	-2.88	71.56	71.62	92
G <sub>m</sub>	52.23	-42.41	13.6	44.55	162
B <sub>m</sub>	30.57	1.41	-46.46	46.49	272

Dreiecks-Helligkeit  $t^*$

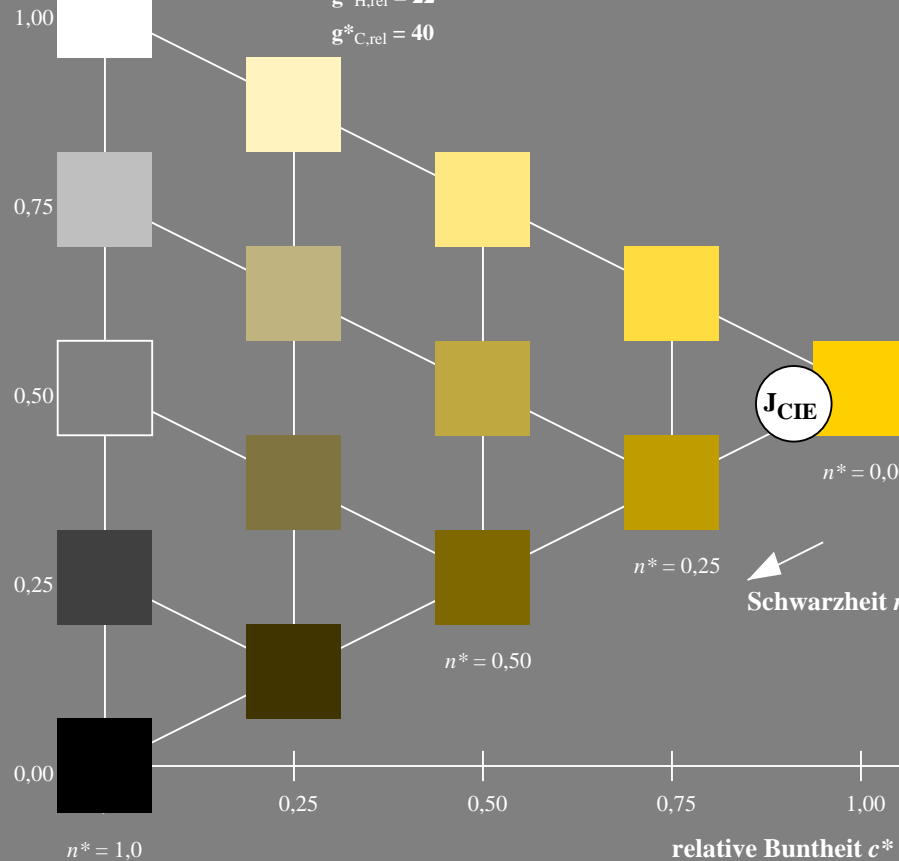
%Umfang

$u^*_{rel} = 118$

%Regularität

$g^*_{H,rel} = 22$

$g^*_{C,rel} = 40$



NG260-7, 5 stufige Reihen für konstanten CIELAB Buntton 92/360 = 0.256 (links)

Ausgabe: Farbmétrisches Offset-Reflektiv-System ORS18

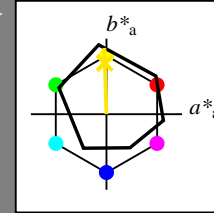
für Buntton  $h^* = lab^*h = 92/360 = 0.255$

$LAB^*LCH, LAB^*NCH$

D65: Buntton J

LCH\*Ma: 86 88 92

olv\*Ma: 1.0 0.9 0.0



ORS18; adaptierte CIELAB-Daten

	$L^*=L^*_a$	$a^*_a$	$b^*_a$	$C^*_{ab,a}$	$h^*_{ab,a}$
O <sub>m</sub>	47.94	65.39	50.52	82.63	38
Y <sub>m</sub>	90.37	-10.26	91.75	92.32	96
L <sub>m</sub>	50.9	-62.83	34.96	71.91	151
C <sub>m</sub>	58.62	-30.34	-45.01	54.3	236
V <sub>m</sub>	25.72	31.1	-44.4	54.22	305
M <sub>m</sub>	48.13	75.28	-8.36	75.74	354
N <sub>m</sub>	18.01	0.0	0.0	0.0	0
W <sub>m</sub>	95.41	0.0	0.0	0.0	0
R <sub>m</sub>	39.92	58.66	26.98	64.57	25
J <sub>m</sub>	81.26	-2.16	67.76	67.79	92
G <sub>m</sub>	52.23	-42.25	11.76	43.87	164
B <sub>m</sub>	30.57	1.15	-46.84	46.86	271

CIELAB-Helligkeit  $L^*$

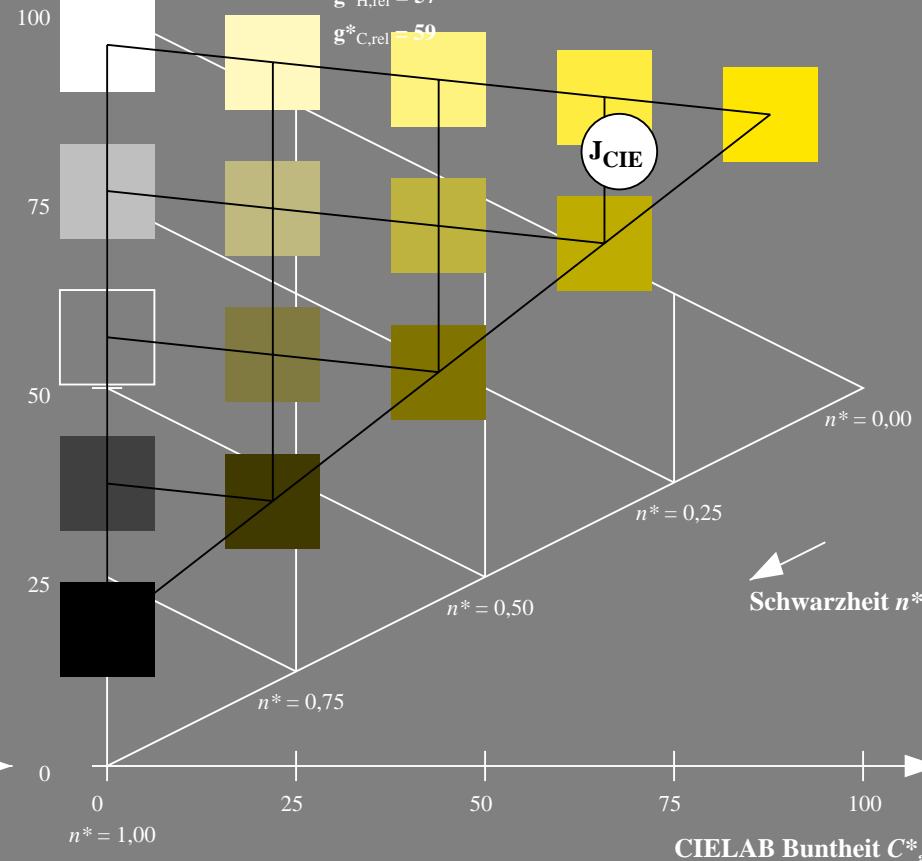
%Umfang

$u^*_{rel} = 93$

%Regularität

$g^*_{H,rel} = 57$

$g^*_{C,rel} = 59$



5 stufige Reihen für konstanten CIELAB Buntton 92/360 = 0.255 (rechts)



Eingabe: Farbmétrisches Fernseh-Licht-System TLS18

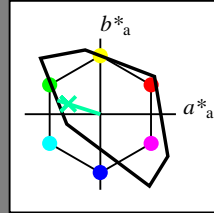
für Buntton  $h^* = lab^*h = 162/360 = 0.451$

$lab^*tch$  und  $lab^*nch$

D65: Buntton G

LCH\*Ma: 86 60 162

olv\*Ma: 0.0 1.0 0.64



TLS18; adaptierte CIELAB-Daten

	$L^*=L^*_a$	$a^*_a$	$b^*_a$	$C^*_{ab,a}$	$h^*_{ab,a}$
O <sub>m</sub>	52.76	71.63	49.88	87.29	35
Y <sub>m</sub>	92.74	-20.02	84.97	87.3	103
L <sub>m</sub>	84.0	-78.98	73.94	108.2	137
C <sub>m</sub>	87.14	-44.41	-13.11	46.32	196
V <sub>m</sub>	35.47	64.92	-95.06	115.12	304
M <sub>m</sub>	59.01	89.33	-55.67	105.26	328
N <sub>m</sub>	18.01	0.0	0.0	0.0	0
W <sub>m</sub>	95.41	0.0	0.0	0.0	0
R <sub>m</sub>	39.92	58.74	27.99	65.07	25
J <sub>m</sub>	81.26	-2.88	71.56	71.62	92
G <sub>m</sub>	52.23	-42.41	13.6	44.55	162
B <sub>m</sub>	30.57	1.41	-46.46	46.49	272

Dreiecks-Helligkeit  $t^*$

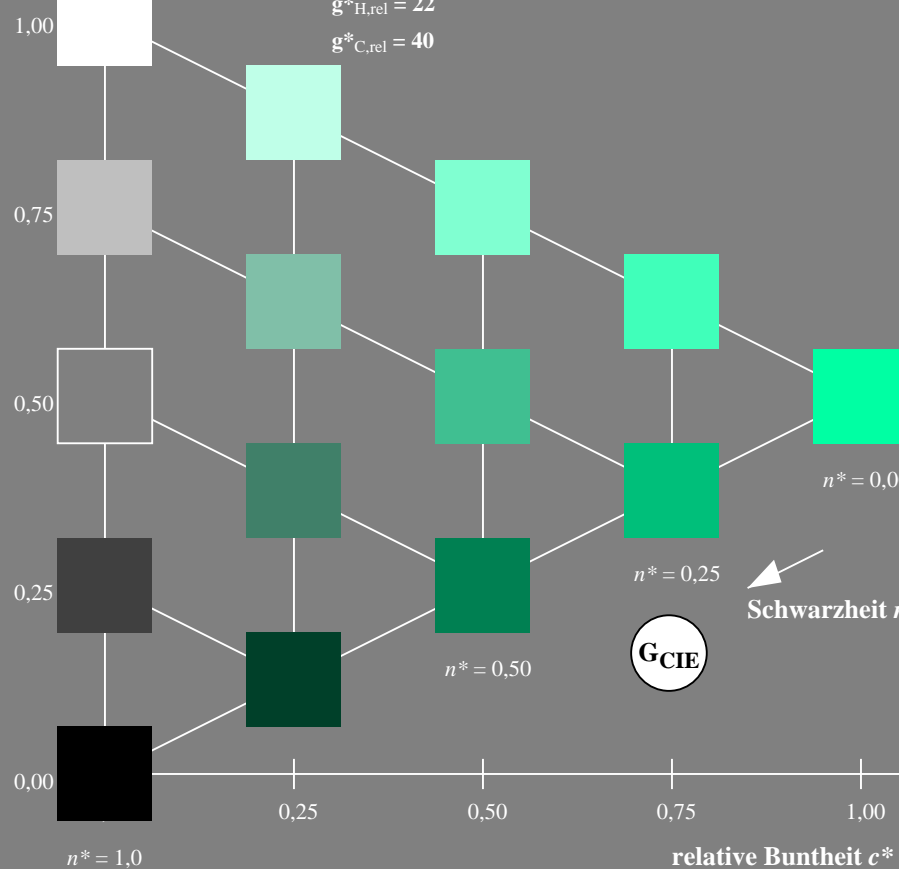
%Umfang

$u^*_{rel} = 118$

%Regularität

$g^*_{H,rel} = 22$

$g^*_{C,rel} = 40$



Ausgabe: Farbmétrisches Offset-Reflektiv-System ORS18

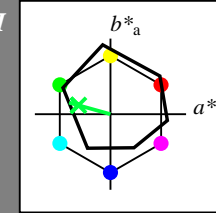
für Buntton  $h^* = lab^*h = 164/360 = 0.457$

$LAB^*LCH, LAB^*NCH$

D65: Buntton G

LCH\*Ma: 53 57 164

olv\*Ma: 0.0 1.0 0.25



ORS18; adaptierte CIELAB-Daten

	$L^*=L^*_a$	$a^*_a$	$b^*_a$	$C^*_{ab,a}$	$h^*_{ab,a}$
O <sub>m</sub>	47.94	65.39	50.52	82.63	38
Y <sub>m</sub>	90.37	-10.26	91.75	92.32	96
L <sub>m</sub>	50.9	-62.83	34.96	71.91	151
C <sub>m</sub>	58.62	-30.34	-45.01	54.3	236
V <sub>m</sub>	25.72	31.1	-44.4	54.22	305
M <sub>m</sub>	48.13	75.28	-8.36	75.74	354
N <sub>m</sub>	18.01	0.0	0.0	0.0	0
W <sub>m</sub>	95.41	0.0	0.0	0.0	0
R <sub>m</sub>	39.92	58.66	26.98	64.57	25
J <sub>m</sub>	81.26	-2.16	67.76	67.79	92
G <sub>m</sub>	52.23	-42.25	11.76	43.87	164
B <sub>m</sub>	30.57	1.15	-46.84	46.86	271

CIELAB-Helligkeit  $L^*$

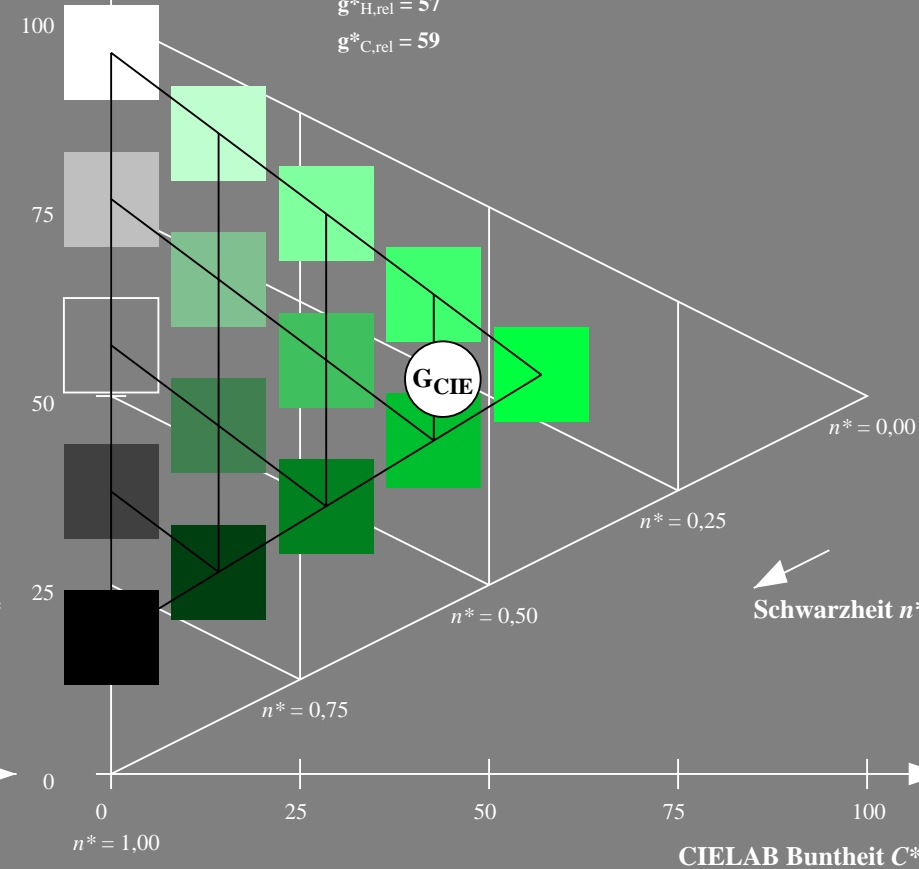
%Umfang

$u^*_{rel} = 93$

%Regularität

$g^*_{H,rel} = 57$

$g^*_{C,rel} = 59$



NG260-7, 5-stufige Reihen für konstanten CIELAB Buntton 162/360 = 0.451 (links)

5-stufige Reihen für konstanten CIELAB Buntton 164/360 = 0.457 (rechts)

BAM-Prüfvorlage NG26; Farbmétrik-Systeme ORS18 & ORS18input: olv\* setrgbcolor

D65: Koordinatensysteme; 5-stufige Farbreihen für 10 Bunttöne output: Startup (S) data dependend

Eingabe: Farbmetrisches Fernseh-Licht-System TLS18

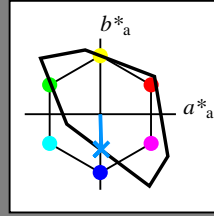
für Buntton  $h^* = lab^*h = 272/360 = 0.755$

$lab^*tch$  und  $lab^*nch$

D65: Buntton B

LCH\*Ma: 65 48 272

olv\*Ma: 0.0 0.58 1.0



TLS18; adaptierte CIELAB-Daten

	$L^*=L^*_a$	$a^*_a$	$b^*_a$	$C^*_{ab,a}$	$h^*_{ab,a}$
O <sub>m</sub>	52.76	71.63	49.88	87.29	35
Y <sub>m</sub>	92.74	-20.02	84.97	87.3	103
L <sub>m</sub>	84.0	-78.98	73.94	108.2	137
C <sub>m</sub>	87.14	-44.41	-13.11	46.32	196
V <sub>m</sub>	35.47	64.92	-95.06	115.12	304
M <sub>m</sub>	59.01	89.33	-55.67	105.26	328
N <sub>m</sub>	18.01	0.0	0.0	0.0	0
W <sub>m</sub>	95.41	0.0	0.0	0.0	0
R <sub>m</sub>	39.92	58.74	27.99	65.07	25
J <sub>m</sub>	81.26	-2.88	71.56	71.62	92
G <sub>m</sub>	52.23	-42.41	13.6	44.55	162
B <sub>m</sub>	30.57	1.41	-46.46	46.49	272

Dreiecks-Helligkeit  $t^*$

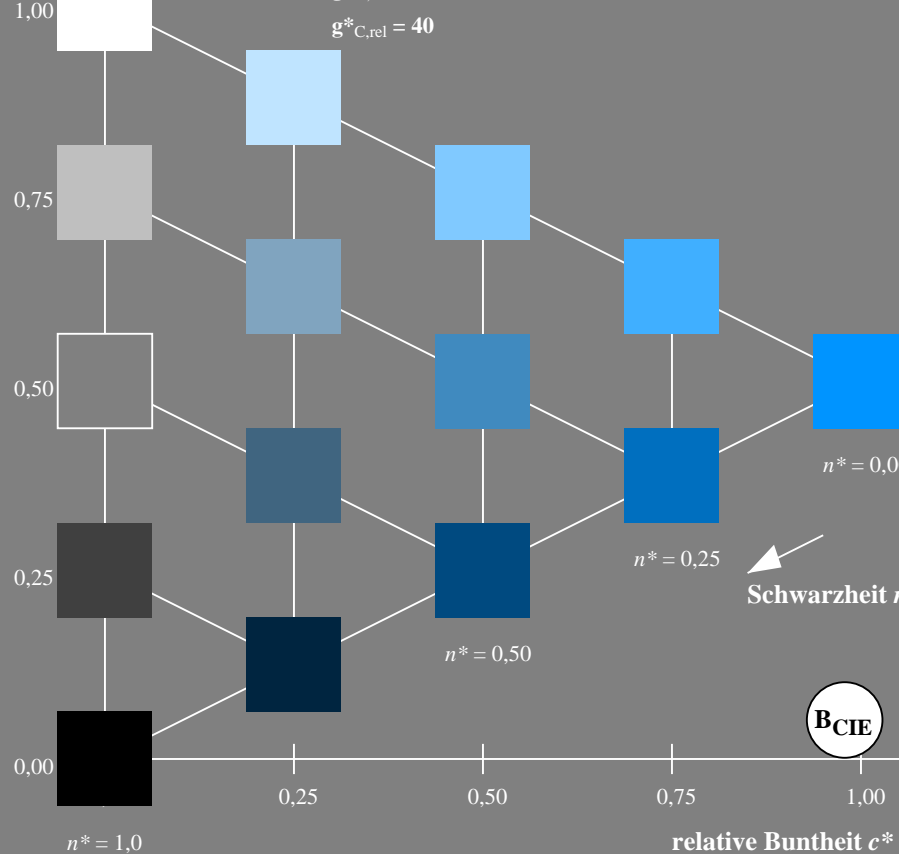
%Umfang

$u^*_{rel} = 118$

%Regularität

$g^*_{H,rel} = 22$

$g^*_{C,rel} = 40$



Ausgabe: Farbmetrisches Offset-Reflektiv-System ORS18

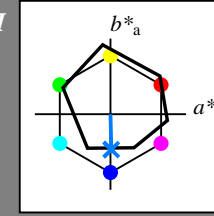
für Buntton  $h^* = lab^*h = 271/360 = 0.754$

$LAB^*LCH, LAB^*NCH$

D65: Buntton B

LCH\*Ma: 42 45 271

olv\*Ma: 0.0 0.49 1.0



ORS18; adaptierte CIELAB-Daten

	$L^*=L^*_a$	$a^*_a$	$b^*_a$	$C^*_{ab,a}$	$h^*_{ab,a}$
O <sub>m</sub>	47.94	65.39	50.52	82.63	38
Y <sub>m</sub>	90.37	-10.26	91.75	92.32	96
L <sub>m</sub>	50.9	-62.83	34.96	71.91	151
C <sub>m</sub>	58.62	-30.34	-45.01	54.3	236
V <sub>m</sub>	25.72	31.1	-44.4	54.22	305
M <sub>m</sub>	48.13	75.28	-8.36	75.74	354
N <sub>m</sub>	18.01	0.0	0.0	0.0	0
W <sub>m</sub>	95.41	0.0	0.0	0.0	0
R <sub>m</sub>	39.92	58.66	26.98	64.57	25
J <sub>m</sub>	81.26	-2.16	67.76	67.79	92
G <sub>m</sub>	52.23	-42.25	11.76	43.87	164
B <sub>m</sub>	30.57	1.15	-46.84	46.86	271

CIELAB-Helligkeit  $L^*$

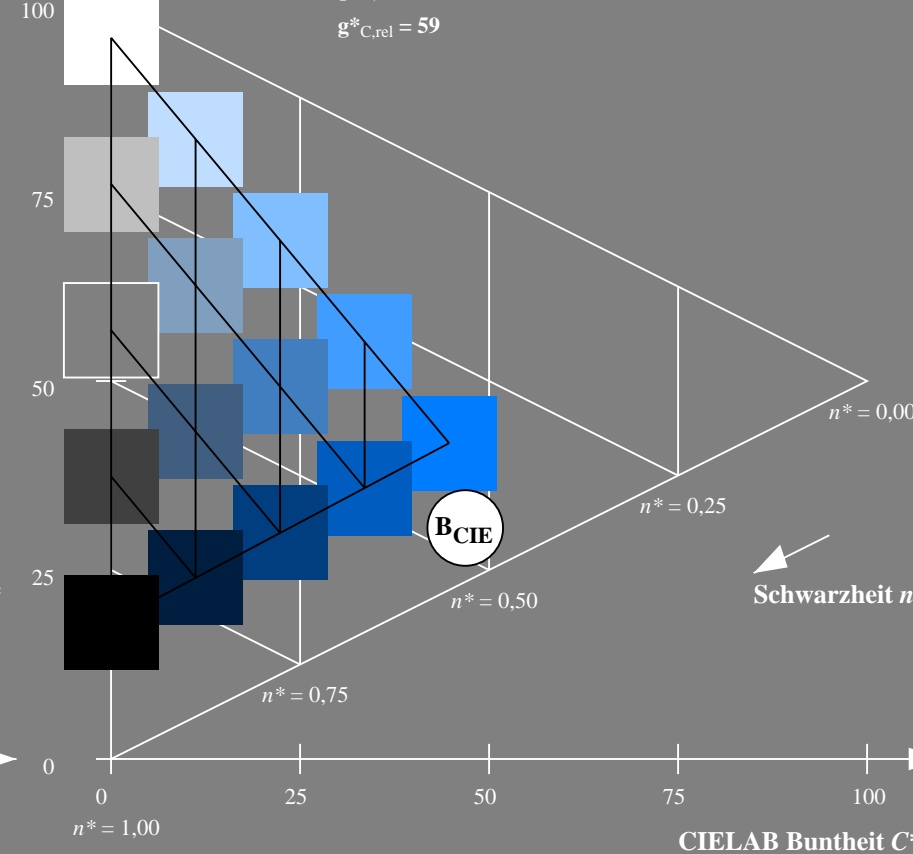
%Umfang

$u^*_{rel} = 93$

%Regularität

$g^*_{H,rel} = 57$

$g^*_{C,rel} = 59$



NG260-7, 5-stufige Reihen für konstanten CIE LAB Buntton 272/360 = 0.755 (links)

5-stufige Reihen für konstanten CIE LAB Buntton 271/360 = 0.754 (rechts)

BAM-Prüfvorlage NG26; Farbmetrik-Systeme ORS18 & ORS18input: olv\* setrgbcolor

D65: Koordinatensysteme; 5-stufige Farbreihen für 10 Bunttöne output: Startup (S) data dependend